

Soutenance

Recherche de nouvelle physique : violation de la saveur leptonique et impact pour les neutrinos stériles

CLOÉ GIRARD-CARILLO

ENCADRÉ PAR

ANA TEIXEIRA & JEAN ORLOFF



Sommaire

Introduction

- Le Modèle Standard et au-delà
- La masse des fermions
- Oscillation des neutrinos
- Observables cLFV

Travail de stage

- Le 3+1 toy model
- Étude phénoménologique
- Résultats et discussion
- Conclusion et perspectives

Le Modèle Standard de la physique des particules

Le Modèle Standard décrit les particules et leurs interactions

Three Generations of Matter (Fermions) spin $\frac{1}{2}$

	I	II	III
mass →	2.4 MeV	1.37 GeV	171.2 GeV
charge →	$\frac{2}{3}$	$\frac{2}{3}$	$\frac{2}{3}$
name →	u Left up Right	c Left charm Right	t Left top Right
Quarks	d Left down Right	s Left strange Right	b Left bottom Right
	0 eV ν_e Left electron neutrino Right	0 eV ν_μ Left muon neutrino Right	0 eV ν_τ Left tau neutrino Right
Leptons	0.511 MeV e Left electron Right	105.7 MeV μ Left muon Right	1.777 GeV τ Left tau Right

Bosons (Forces) spin 1	0 0 g gluon
	0 0 γ photon
	91.2 GeV 0 Z⁰ weak force
	80.4 GeV ± 1 W[±] weak force
	>114 GeV 0 0 H Higgs boson spin 0

$$SU(3)_C \times SU(2)_L \times U(1)_Y$$

↓

$$SU(3)_C \times U(1)_{e.m.}$$

Doublets

$$L_L = \begin{pmatrix} \nu_L \\ l_L \end{pmatrix} \quad q_L = \begin{pmatrix} u_L \\ d_L \end{pmatrix}$$

Singlets

$$e_R \quad u_R \quad d_R$$

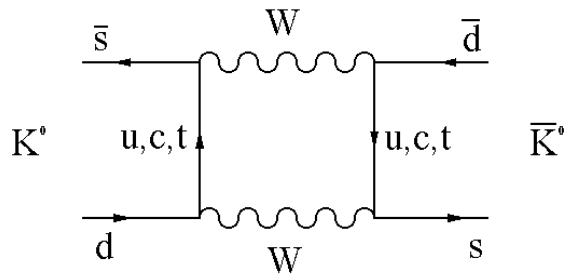
Interaction électro-faible

Au-delà du Modèle Standard

Les problèmes observationnels du Modèle Standard

Asymétrie matière/
antimatière

Oscillation des mésons K



Violation CP

La masse des neutrinos

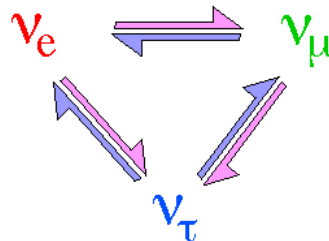


1933



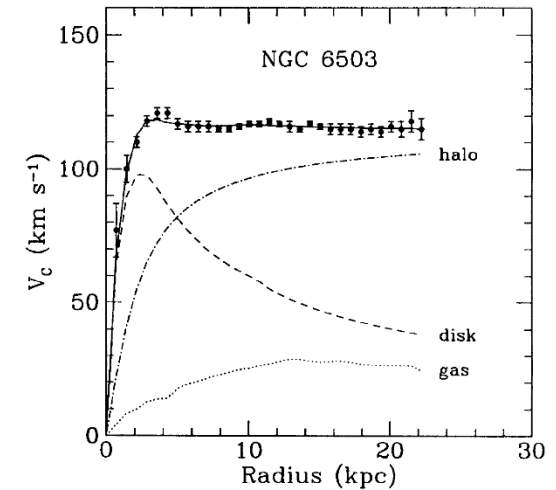
1957

Oscillation des neutrinos



La matière noire

Vitesse de rotation
des galaxies



Les masses des fermions

Dans le modèle Standard: les quarks

Terme de masse dans la base d'interaction: $\mathcal{L}^{\text{mass}} = -\frac{v}{\sqrt{2}} \bar{q}'_L Y'^q q'_R + h.c.$

But: obtenir des états de masse déterminés
Diagonalisation vers la base physique
(M et Y diagonales)

$$\longrightarrow V_L^{q\dagger} Y'^q V_R^q = Y^q$$

$$q_R = V_R^\dagger q'_R \quad q_L = V_L^\dagger q'_L$$

$$\mathcal{L}^{\text{mass}} = -\frac{v}{\sqrt{2}} \bar{q}_L Y^q q_R + h.c. = -m_q \bar{q}_L q_R + h.c.$$

Redéfinition du courant chargé

$$\mathcal{L}^{W^\pm} = g W_\mu^\pm \bar{u}_L \gamma^\mu V_{CKM} d_L$$

Mélange
des quarks

$$V_{CKM} = \begin{pmatrix} V_{ud} & V_{us} & V_{ub} \\ V_{cd} & V_{cs} & V_{cb} \\ V_{td} & V_{ts} & V_{tb} \end{pmatrix} \\ = V_L^{u\dagger} V_L^d$$


Matrice de mélange
Source de CPV

Les masses des fermions

Dans le modèle Standard : les leptons

$$\mathcal{L}^{\text{mass}} = -\frac{v}{\sqrt{2}} \bar{L}'_L Y^{l'} l'_R + h.c.$$

Doublet	Singulet
$L_L = \begin{pmatrix} \nu_L \\ l_L \end{pmatrix}$	l_R

$m_\nu = 0$  La matrice de Yukawa des leptons chargés peut toujours être rendue diagonale dans la base d'interaction

$$\mathcal{L}_L^W = -\frac{g}{\sqrt{2}} \bar{\nu}'_L \gamma^\mu l'_L W_\mu^+ + h.c.$$



Le courant chargé conserve la saveur leptonique

Violation de la saveur leptonique interdite dans le MS

Pas de mélange des leptons

Les masses des fermions

Au-delà du Modèle Standard : les neutrinos

Observation  Oscillation des neutrinos  Neutrinos massifs

Quel mécanisme de génération de masse ?

Plusieurs possibilités qui dépendent de la nature des neutrinos

Les masses des fermions

Au-delà du Modèle Standard : les neutrinos

Quel mécanisme de génération de masse ?

1

Des particules de Dirac \longrightarrow Comme pour les autres fermions

Ajout neutrino RH \longrightarrow Singulet $SU(3) \times SU(2) \times U(1)$

Neutrinos stériles

$$\mathcal{L}_Y^\nu = -\frac{v}{\sqrt{2}} \bar{\nu}'_L Y'^\nu \nu'_R + h.c.$$

$$Y^\nu \ll Y^l$$

Les masses des fermions

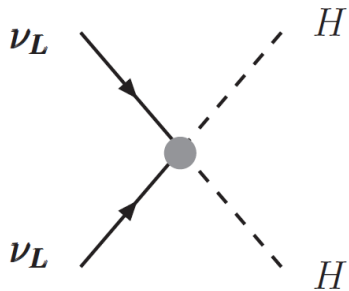
Au-delà du Modèle Standard : les neutrinos

Quel mécanisme de génération de masse ?

2

Des particules de Majorana \longrightarrow Particule = antiparticule $\longrightarrow \nu = \nu^c$

Approche effective \longrightarrow 3 façons de donner une masse aux neutrinos



- Singulet ν_R \longrightarrow Seesaw type I
 - Triplet scalaire $\vec{\Delta}$ \longrightarrow Seesaw type II
 - Triplet fermionique $\vec{\Sigma}$ \longrightarrow Seesaw type III
- } $\Delta L = 2$

Les masses des fermions

Au-delà du Modèle Standard : les neutrinos

$$\mathcal{L}^{\text{mass}} = -\frac{v}{\sqrt{2}} \bar{L}'_L Y^{l'} l'_R + h.c. \longrightarrow \text{Transformation bi-unitaire} \quad Y^l = V_L^\dagger Y^{l'} V_R$$

Champs leptoniques dans la base de masse (physique) :

$$L_L = V_L^\dagger L'_L \quad \text{et} \quad l_R = V_R^\dagger l'_R$$

Pour les neutrinos

$$\nu_L = U_L^{\nu\dagger} \nu'_L$$

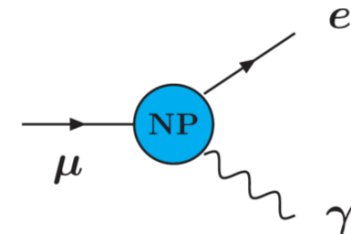
Courant leptonique chargé :

$$\mathcal{L}_L^W = -\frac{g}{\sqrt{2}} \bar{\nu}_L \gamma^\mu U_{PMNS} l_L W_\mu^+ + h.c. \longrightarrow U_{PMNS} = \begin{pmatrix} U_{e1} & U_{e2} & U_{e3} \\ U_{\mu1} & U_{\mu2} & U_{\mu3} \\ U_{\tau1} & U_{\tau2} & U_{\tau3} \end{pmatrix} = U_L^{\nu\dagger}$$

Il n'existe aucune base dans laquelle les deux matrices M_l et M_ν sont simultanément diagonales

Violation de la saveur leptonique

- Oscillation des neutrinos
- Processus cLFV ($\mu \rightarrow e\gamma \dots$)



Oscillation des neutrinos

Dans le vide

Probabilité d'oscillation :

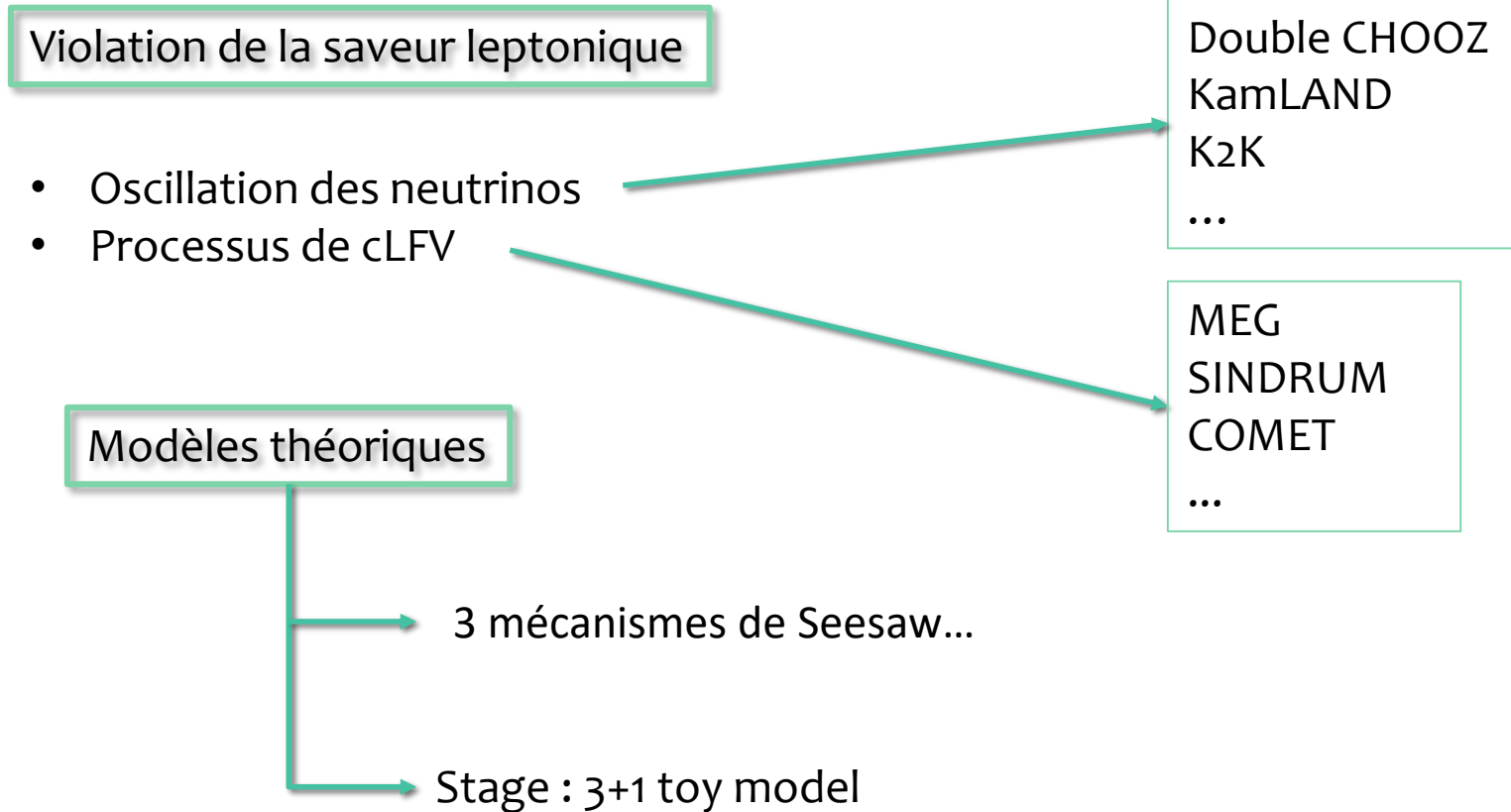
$$\mathcal{P}_{\mu \rightarrow e}(t) = \sin^2 2\theta \sin^2 \frac{\Delta m^2}{2E} L$$

Mesure \longrightarrow 3 angles de mélanges
2 différences de masses

- \Longrightarrow Oscillations entre 3 saveurs
- \Longrightarrow Au moins 2 neutrinos massifs
- \Longrightarrow Extension minimale du MS : 2 neutrinos stériles

Etude phénoménologique

Cadre théorique



Le 3+1 toy model

Indépendant de tout
mécanisme de
génération de masse

Première approche phénoménologique

Ajout d'un seul neutrino stérile de Majorana

Courants modifiés

$$\mathcal{L}_{W^\pm} = -\frac{g_w}{\sqrt{2}} W_\mu^- \sum_{\alpha=1}^3 \sum_{j=1}^{3+n_s} U_{\alpha j} \bar{l}_\alpha \gamma^\mu P_L \nu_j + h.c. \quad n_s = 1$$

$$\mathcal{L}_{Z^0}^\nu = -\frac{g_w}{2 \cos \theta_w} Z_\mu \sum_{i,j=1}^{3+n_s} \bar{\nu}_i \gamma^\mu (P_L C_{ij} - P_R C_{ij}^*) \nu_j \quad C_{ij} = \sum_{\alpha=1}^3 U_{\alpha i}^* U_{\alpha j}$$

Matrice unitaire (4 × 4)

$$U = \begin{pmatrix} U_{e1} & U_{e2} & U_{e3} & U_{es} \\ U_{\mu1} & U_{\mu2} & U_{\mu3} & U_{\mu s} \\ U_{\tau1} & U_{\tau2} & U_{\tau3} & U_{\tau s} \\ U_{s1} & U_{s2} & U_{s3} & U_{ss} \end{pmatrix}$$

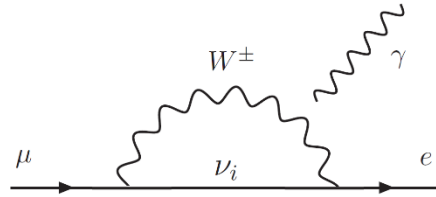
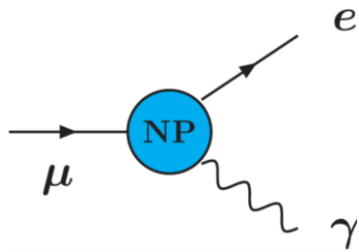
DDL supplémentaires

- Masse du neutrino stérile m_4
- Angles de mélange actif-stérile $\theta_{14}, \theta_{24}, \theta_{34}$
- (Deux phases de Dirac)
- (Une phase de Majorana)

Observables de cLFV

Désintégrations radiatives $l_i \rightarrow l_j \gamma$

Désintégration $\mu \rightarrow e \gamma$



Modèle Standard :
 $BR(\mu \rightarrow e \gamma) \sim O(10^{-54})$

Dans le 3+1 toy model :

$$Br(l \rightarrow l' \gamma) = \frac{\alpha_w^3 \sin^3 \theta_w}{256 \pi^2} \frac{m_l^4}{M_W^4} \frac{m_{l'}}{M_W} |G_\gamma^{ll'}|^2$$

Mélange avec
les neutrinos
actifs

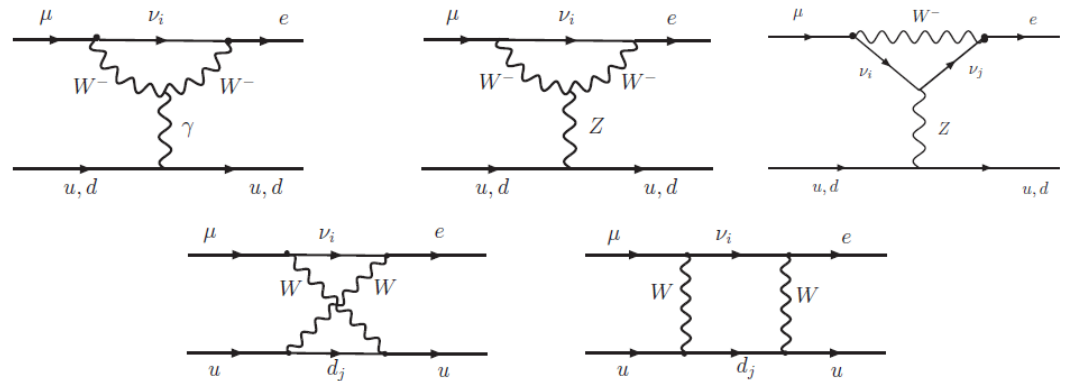
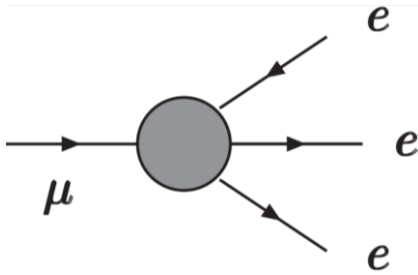
Dépend de la
masse du
neutrino stérile

$$G_\gamma^{\mu e} = \sum_{i=1}^{3+k} U_{ei} U_{\mu i}^* G_\gamma(x_i)$$

Observables de cLFV

Désintégrations en trois leptons $l_i \rightarrow l_j l_k l_m$

Désintégration $\mu \rightarrow eee$



Dans le 3+1 toy model :

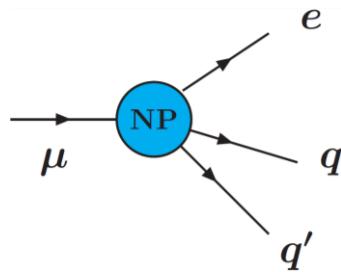
$$\begin{aligned}
 Br(l \rightarrow l' l' l') &= \frac{\alpha_w^4}{24576\pi^3} \frac{m_l^4}{M_W^4} \frac{m_l}{\Gamma_l} \times \left\{ 2 \left| \frac{1}{2} F_{Box}^{ll' l' l'} + F_Z^{ll'} - 2s_w^2 (F_Z^{ll'} - F_\gamma^{ll'}) \right|^2 + 4s_w^4 \left| F_Z^{ll'} - F_\gamma^{ll'} \right|^2 \right. \\
 &+ 16s_w^2 Re \left((F_Z^{ll'} + \frac{1}{2} F_{Box}^{ll' l' l'}) G_\gamma^{ll' *} \right) - 48s_w^4 Re \left((F_Z^{ll'} - F_\gamma^{ll'}) G_\gamma^{ll' *} \right) \\
 &\left. + 32s_w^4 \left| G_\gamma^{ll'} \right|^2 \left(\ln \frac{m^2}{m_{l'}^2} - \frac{11}{4} \right) \right\},
 \end{aligned}$$

$$F \propto U_{ei} U_{\mu j} f(m_i)$$

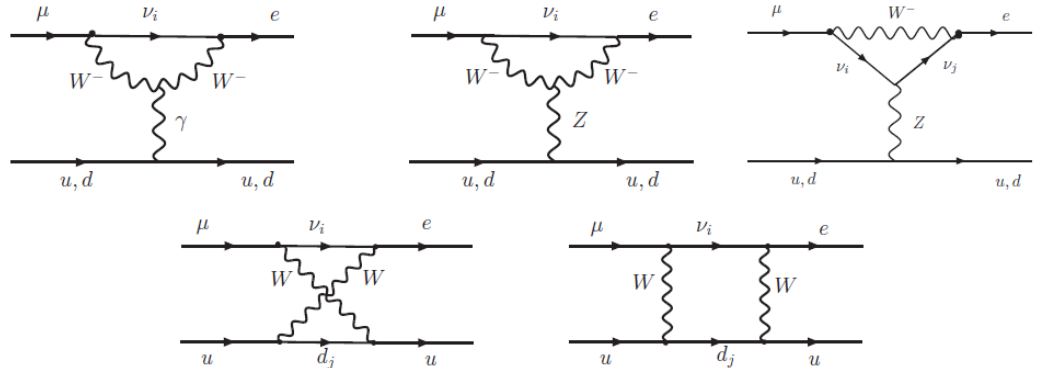
Observables de cLFV

Processus assistés par noyaux

Conversion $\mu \rightarrow e$ dans un atome muonique



Électron remplacé par muon



Dans le 3+1 toy model :

$$CR(\mu \rightarrow e, N) = \frac{2G_F^2 \alpha_w^2 m_\mu^5}{(4\pi)^2 \Gamma_{capt}(Z)} \left| 4V^p \left(2\tilde{F}_u^{\mu e} + \tilde{F}_d^{\mu e} \right) + 4V^n \left(\tilde{F}_u^{\mu e} + 2\tilde{F}_d^{\mu e} \right) + s_w^2 G_\gamma^{\mu e} D / (2e) \right|^2$$

$$\tilde{F}_q^{\mu e} = Q_q s_w^2 F_\gamma^{\mu e} + F_Z^{\mu e} \left(\frac{I_q^3}{2} - Q_q s_w^2 \right) + \frac{1}{4} F_{Box}^{\mu e q q}$$

$$F \propto U_{ei} U_{\mu j} f(m_i)$$

Observables de cLFV

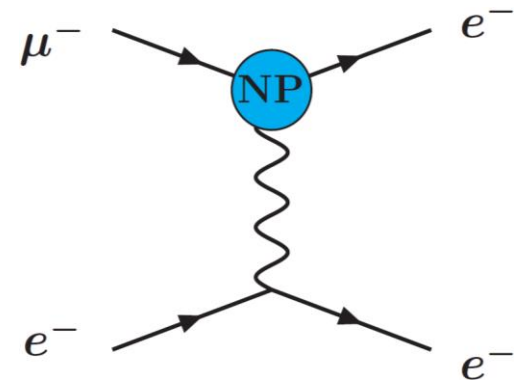
Processus assistés par noyaux

Nouvelle observable (2010) :

$\mu^- e^- \rightarrow e^- e^-$ dans un atome muonique

Dans le 3+1 toy model :

$$\begin{aligned}
 BR(\mu e \rightarrow ee, N) &= \tilde{\tau}_\mu \Gamma(\mu e \rightarrow ee, N) \\
 &= 24\pi(Z-1)^3 \alpha_w \left(\frac{m_e}{m_\mu}\right)^3 \frac{\tilde{\tau}_\mu}{\tau_\mu} \\
 &\times \left(16 \left| \frac{1}{2} \left(\frac{g_w}{4\pi}\right)^2 \left(\frac{1}{2} F_{Box}^{\mu e e e} + F_Z^{\mu e} - 2 \sin^2 \theta_w (F_Z^{\mu e} - F_\gamma^{\mu e}) \right) \right|^2 \right. \\
 &\left. + 4 \left| \frac{1}{2} \left(\frac{g_w}{4\pi}\right)^2 2 \sin^2 \theta_w (F_Z^{\mu e} - F_\gamma^{\mu e}) \right|^2 \right),
 \end{aligned}$$



$$F \propto U_{ei} U_{\mu j} f(m_i)$$

Études expérimentales des processus cLFV

Limites actuelles et sensibilités futures

	Processus cLFV	Limites actuelles	Sensibilités futures
$l \rightarrow l' \gamma$	$\mu \rightarrow e \gamma$	5.7×10^{-13} (MEG)	6×10^{-14} (MEG II)
	$\tau \rightarrow e \gamma$	3.3×10^{-8} (BaBar)	3×10^{-9} (SuperBelle)
	$\tau \rightarrow \mu \gamma$	4.4×10^{-8} (BaBar)	3×10^{-9} (SuperBelle)
$l \rightarrow l' l' l'$	$\mu \rightarrow e e e$	1.0×10^{-12} (SINDRUM)	10^{-16} (Mu3e)
	$\tau \rightarrow \mu \mu \mu$	2.1×10^{-8}	10^{-9} (SuperBelle)
	$\tau \rightarrow e e e$	2.7×10^{-8}	10^{-9} (SuperBelle)
$\mu \rightarrow e$	$\mu \rightarrow e$	4.3×10^{-12} (SINDRUM)	3×10^{-15} (COMET I)
		4.6×10^{-11} (SINDRUM)	3×10^{-17} (COMET II)
		7×10^{-13} (SINDRUM)	10^{-18} (PRISM/PRIME)

Etude phénoménologique

Masse du neutrino stérile $m_4 \rightarrow [10^{-2}, 10^6]$ GeV
Angles de mélanges et phases $\rightarrow [0, 2\pi]$

+

Contraintes
expérimentales

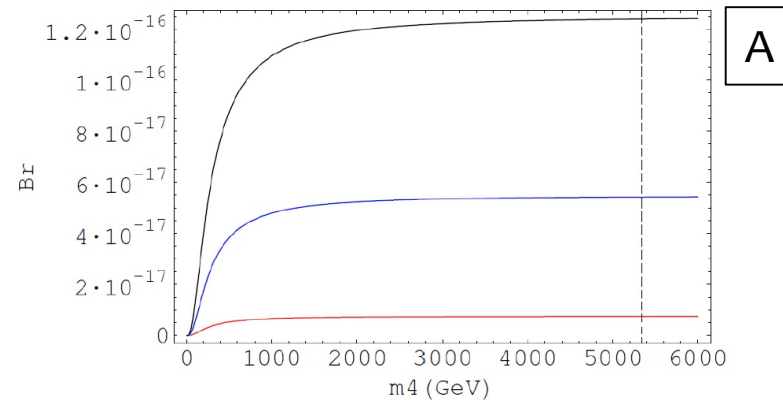
4 points « benchmark »

	A	B	C	D
$m_4(\text{GeV})$	5395.11	547.016	8945.4	952.357
s_{14}	1.046×10^{-5}	4.47×10^{-2}	7.25×10^{-8}	1.161×10^{-3}
s_{24}	8.57×10^{-3}	9.74×10^{-2}	2.65×10^{-2}	6.22×10^{-3}
s_{34}	5.3×10^{-2}	6.64×10^{-4}	1.45×10^{-2}	8.8×10^{-2}
η	1.46×10^{-3}	5.76×10^{-3}	4.58×10^{-4}	3.90×10^{-3}
ϕ_{21}	1.986	4.36×10^{-5}	7.83×10^{-11}	4.01×10^{-14}
ϕ_{31}	8.66×10^{-15}	1.37×10^{-14}	2.63×10^{-10}	4.43×10^{-6}
ϕ_{41}	4.694×10^{-3}	1.02×10^{-8}	0.26	5.94×10^{-12}

Etude phénoménologique

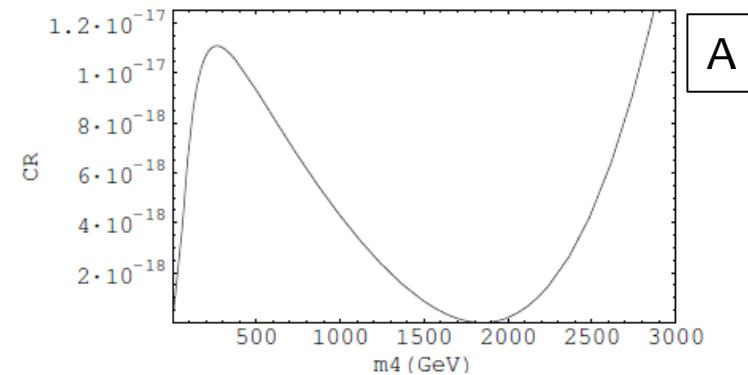
Influence des paramètres du neutrino stérile

Influence de m_4 dans des processus $l \rightarrow l'\gamma$



- $BR(\mu \rightarrow e\gamma)$
- $BR(\tau \rightarrow e\gamma)$
- $5 \times 10^{-6} \times |G_\gamma|^2$

Influence de m_4 sur $CR(\mu \rightarrow e, Al)$



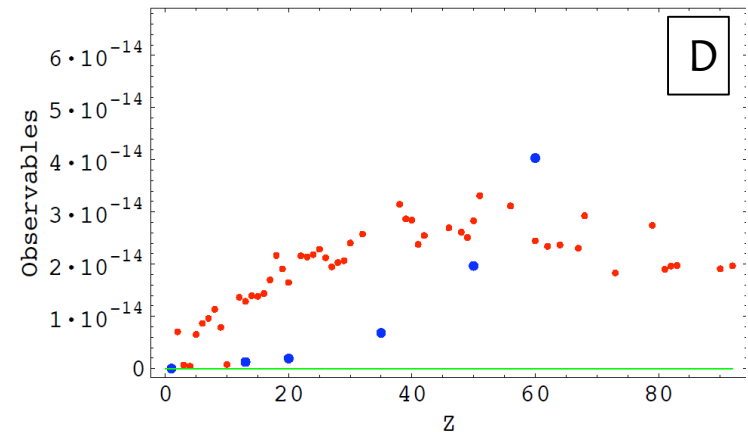
Toutes les valeurs de m_4 ne satisfont pas les contraintes expérimentales

Etude phénoménologique

Tests du 3+1 toy model

	A	B	C	D
$\mu \rightarrow e\gamma$	7.51×10^{-18}	1.30×10^{-8}	3.48×10^{-21}	8.18×10^{-14}
$\tau \rightarrow e\gamma$	5.42×10^{-17}	1.12×10^{-13}	1.94×10^{-22}	3.06×10^{-12}
$\tau \rightarrow \mu\gamma$	3.64×10^{-11}	5.31×10^{-13}	2.60×10^{-11}	4.57×10^{-11}
$\mu \rightarrow eee$	2.69×10^{-17}	5.87×10^{-10}	1.21×10^{-20}	8.26×10^{-15}
$\tau \rightarrow eee$	1.94×10^{-16}	5.57×10^{-15}	6.74×10^{-22}	3.23×10^{-13}
$\tau \rightarrow \mu\mu\mu$	1.22×10^{-10}	1.71×10^{-14}	2.73×10^{-11}	4.41×10^{-12}
$\mu \rightarrow e$ (AI)	1.38×10^{-16}	7.17×10^{-9}	6.10×10^{-20}	1.29×10^{-14}
$\mu e \rightarrow ee$ (AI)	9.55×10^{-20}	9.01×10^{-13}	4.29×10^{-23}	3.20×10^{-17}

— $CR(\mu \rightarrow e)$
 — $BR(\mu e \rightarrow ee)$



$BR(\mu e \rightarrow ee)$ et future sensibilité de COMET phase II

Radiative decay	Present bound	Future sensitivity
$\mu \rightarrow e\gamma$	5.7×10^{-13}	6×10^{-14}
$\tau \rightarrow e\gamma$	3.3×10^{-8}	3×10^{-9}
$\tau \rightarrow \mu\gamma$	4.4×10^{-8}	3×10^{-9}
$\mu \rightarrow eee$	1.0×10^{-12}	10^{-16}
$\tau \rightarrow \mu\mu\mu$	2.1×10^{-8}	10^{-9}
$\tau \rightarrow eee$	2.7×10^{-8}	10^{-9}

Conclusion

- Plus on a d'observables, plus on peut explorer l'espace des paramètres du neutrino stérile;
- Futures sensibilités
- Le toy model est une première approche phénoménologique qui permet de mieux comprendre certains modèles théoriques plus poussés.

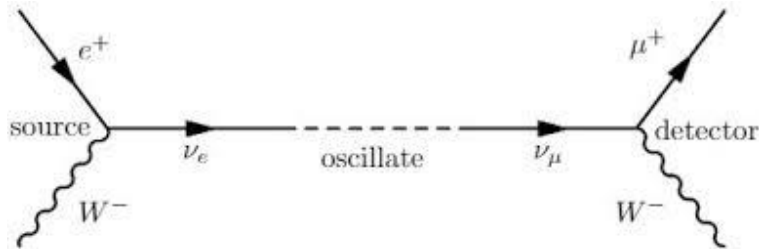
Merci de votre attention

Back up



Oscillation des neutrinos

Effet quantique



Flux de neutrinos solaires
 -> ~36% du flux attendu

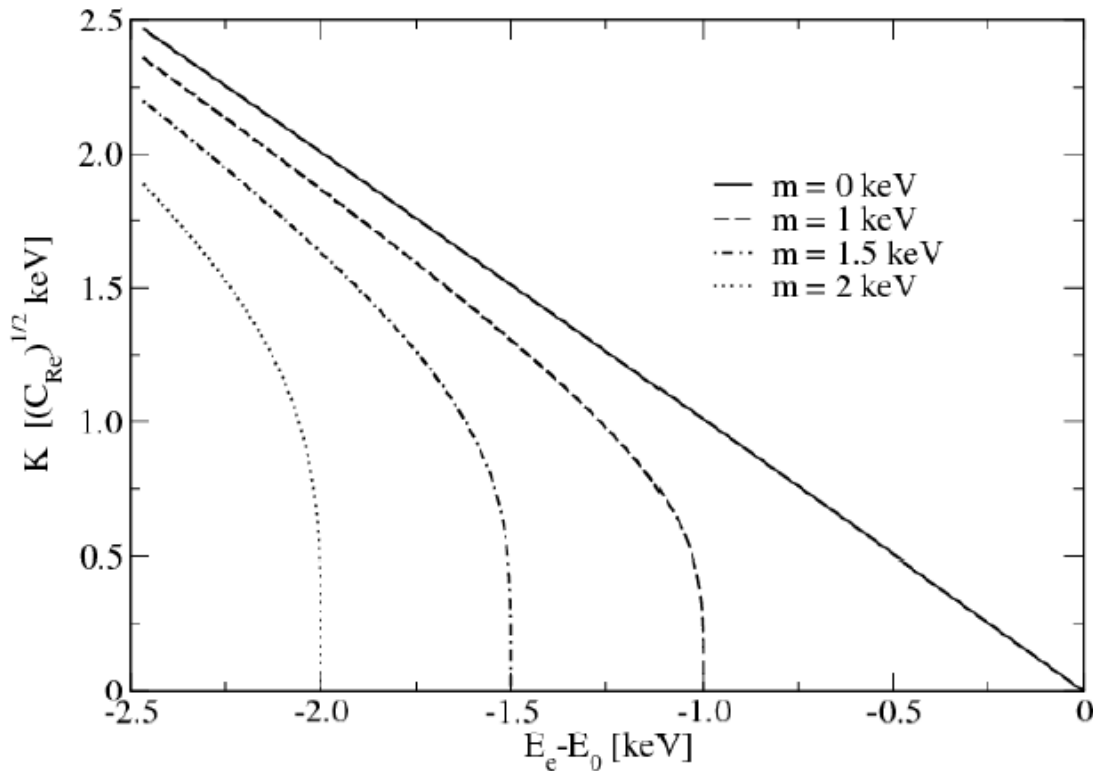
Les neutrinos oscillent
 si $m_\nu \neq 0$ et si les masses
 sont dégénérées.

Une paramétrisation de U_{PMNS}

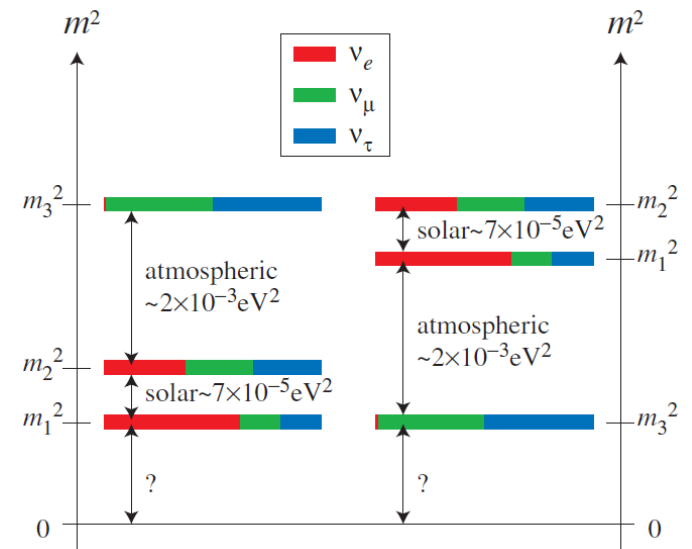
$$U_{PMNS} = \begin{pmatrix} c_{12}c_{13} & s_{12}c_{13} & s_{13}e^{-i\delta_{CP}} \\ -s_{12}c_{23} - c_{12}s_{23}s_{13}e^{i\delta_{CP}} & c_{12}c_{23} - s_{12}s_{23}s_{13}e^{i\delta_{CP}} & s_{23}c_{13} \\ s_{12}s_{23} - c_{12}c_{23}s_{13}e^{i\delta_{CP}} & -c_{12}s_{23} - s_{12}c_{23}s_{13}e^{i\delta_{CP}} & c_{23}c_{13} \end{pmatrix}$$

Masses des neutrinos

Détermination des valeurs absolues des masses avec $0\nu 2\beta$

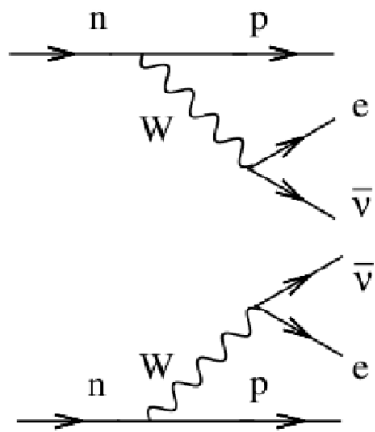


Ordre des états de masse

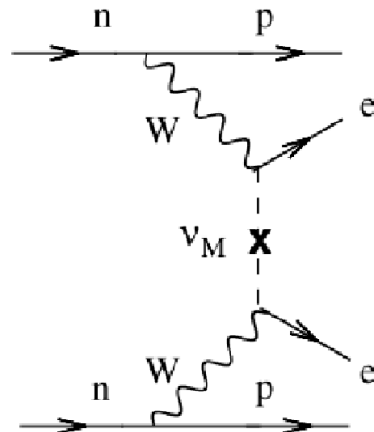


$0\nu 2\beta$

Goeppert-Mayer 1935



Furry 1939

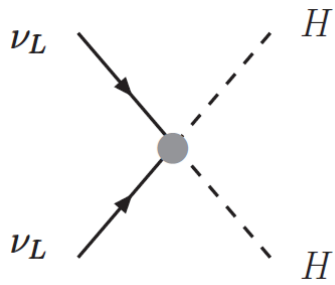


Nombre leptonique total
conservé dans le SM mais pas
protégé par une symétrie
Le terme de masse de
Majorana conduit à $\Delta L = 2$

KamLAND-Zen et GERDA

Autorisé uniquement si les
neutrinos sont des
particules de Majorana

Neutrinos de Majorana

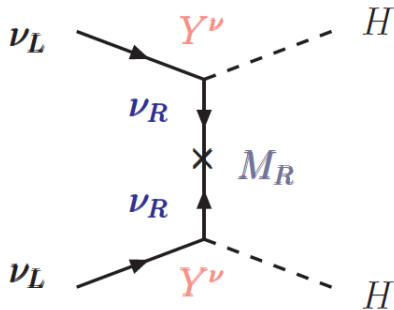


- Approche effective : étude d'un processus à basse énergie
- Lagrangien de dimension $d > 4$ non renormalisable mais possède toutes les symétries du SM
- Cf Théorie de Fermi sur la désintégration beta

$$[L H L H]$$

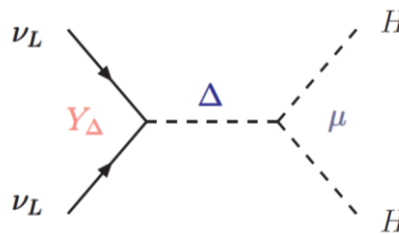
Seesaw I

$$\mathcal{L}^{eff} = -\frac{1}{2}m_R(L_i^T H)(L_j^T H)$$



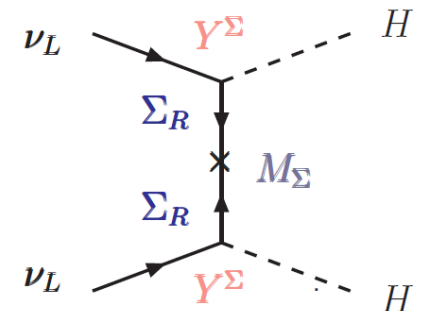
Seesaw II

$$\mathcal{L}^{eff} = -\frac{1}{2}m_\Delta(L_i^T \sigma L_j)(H^T \sigma H)$$



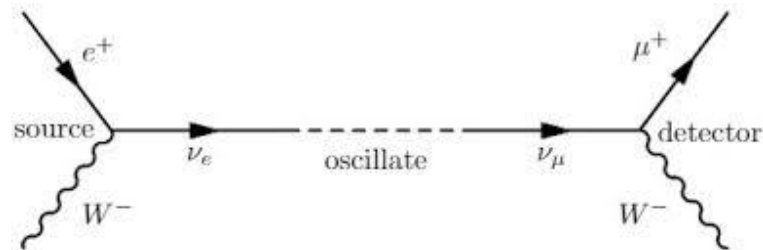
Seesaw III

$$\mathcal{L}^{eff} = -\frac{1}{2}m_\Sigma(L_i^T \sigma H)(L_j^T \sigma H)$$



Le mécanisme de GIM

Effet quantique



Conclusion

Effet quantique

